

优化技术及其应用

(第二版)

北京理工

TH122

# 优化技术及其应用

(第二版)

何献忠 李萍 等著

北京理工大学出版社

# 优化技术及其应用

(第二版)

何献忠 李萍 等著



北京理工大学出版社

(京)新登字 149 号

### 内 容 简 介

本书是 1986 年版本的第二版，它在保留原版本基本框架及特色的基础上，仍以直接法为主，求导法为辅；删去了较旧的内容，大量增加了作者最近几年，在理论及实用技术方面的研究成果，如已经推广的 CFPN 算法及程序，工程优化问题的深化等；并进一步增强了工程设计实例分析；为使仅了解 BASIC 语言的读者掌握优化技术，还新增了用该语言编写的复形法程序，及大量的工程应用实例。书中程序全部运行可靠。

全书共分八章，内容为：设计方法的改进及优化技术概述；直接法及其应用；优化设计中一些实际问题的处理；求导法及其应用；约束条件转化方法及应用；处理多目标优化问题的工程方法；工程优化问题的深化；工程设计应用实例及程序。

本书可作为机械工程、光学工程、特种精密机械专业高年级本科生教材、研究生选修课教材、有关专业继续教育教材，也可供有关专业科技人员、特别是从事设计工作的技术人员参考使用。

2003/19

### 优化技术及其应用(第二版)

何献忠 李萍 等著

\*

北京理工大学出版社出版发行

各地新华书店经售

北京市万龙图文信息公司照排

北京地质印刷厂印刷

\*

787×1092 毫米 16 开本 14 印张 342 千字

1995 年 2 月第二版 1995 年 2 月第二次印刷

ISBN7-81013-982-7/TP·117

印数：10001—15000 册 定价：9.00 元

## 第二版 前 言

本书自 1986 年 6 月第一次印刷后,先后重印两次,仍满足不了社会需求。最近根据教学安排及兵器工程师进修大学的邀请,撰写了本书的第二版本。

本版保留了原书的框架及特点,仍以直接法为主,求导法为辅,并辅以其它相关技术。努力贯彻学以致用,学用结合。力争使读者学有所得。

本着去粗取精,删旧增新的原则,对内容进行了较大的更换与补充。新增内容,主要取材于作者最近几年所取得的科研成果。这些成果,多已先后被有关院校及厂、所采用。可变多面体法(CFPM)及程序,曾获机电部科技奖。为顾及仅了解 BASIC 语言的读者,掌握优化技术,新增了用该语言编写的复形法程序,第八章的全部工程实例,都用该程序进行优化设计。其余各章中的实例,分别采用了 CM 程序或 CFPM 程序进行了全部核查,为读者提供了更多、更可信的参考根据。新增的第七章工程设计优化问题的深化,是将模糊集理论用于工程优化的试探,目的在于引起工程设计人员,对优化技术应用的新思考。新增的特种精密机械优化工程实例,是应兵器工程师进修大学的要求而增的内容,目的在于扩大该项技术的应用面。

参予本书第二版撰写的人员有:何献忠、李萍、黄航汉、刘学泽、金小海、吕宁等。

本书在写作过程中,得到了兵器工程师进修大学领导的大力支持和帮助。此外,还引用了其它学者的许多资料,在此一并表示深切的谢意。

书中缺点、错误难免,诚恳地期待各方面的指正、帮助。

1994 年 5 月

# 目 录

<b>第一章 设计方法的改进及优化技术概述</b> .....	(1)
§ 1-1 研究设计方法的现实意义 .....	(1)
§ 1-2 设计方法的改进与发展概况 .....	(1)
1. 试算法 .....	(1)
2. 表格法 .....	(2)
3. 图算法 .....	(2)
4. 利用一元函数极值理论的设计法 .....	(3)
5. 优化设计法 .....	(5)
6. 综合设计法 .....	(6)
§ 1-3 有关优化设计的术语及概念 .....	(6)
1. 实际技术问题及其数学模型抽象 .....	(6)
2. 设计变量 .....	(6)
3. 目标函数 .....	(8)
4. 约束条件 .....	(8)
5. 设计空间及设计可行域 .....	(8)
6. 优化设计的一般数学模型 .....	(9)
§ 1-4 优化设计过程的形象化表达 .....	(10)
1. 等值线与优化点 .....	(10)
2. 择优过程的形象表达 .....	(11)
<b>第二章 直接法及其应用</b> .....	(12)
§ 2-1 直接法的基本特点及方法 .....	(12)
§ 2-2 坐标轮换法及其应用 .....	(12)
1. 基本设想 .....	(12)
2. 逻辑框图 .....	(14)
3. 计算示例 .....	(14)
4. 拟减小非标准滚珠轴承外径的论证 .....	(17)
5. 坐标轮换法的局限性 .....	(18)
§ 2-3 单纯形法及其应用 .....	(19)
1. 基本设想 .....	(19)
2. 构成初始单纯形的方法 .....	(20)
3. 收敛条件 .....	(20)
4. 择优过程与框图 .....	(21)
5. 实例运算 .....	(22)
6. 最小推力滚珠导轨设计 .....	(27)
7. 结论 .....	(29)
8. 使用上的局限性 .....	(31)
§ 2-4 复形法及其应用 .....	(31)
1. 基本设想 .....	(31)
2. 初始复形的构成 .....	(32)
3. 收敛判别条件 .....	(32)
4. 择优过程及框图 .....	(32)

5. 实例运算	(34)
6. 钢丝滚道非标准滚珠轴承优化设计及程序	(37)
7. 片簧式径向作用调速器优化设计	(47)
8. 有常量约束的最小推力滚珠导轨优化设计	(50)
9. 结论	(51)
<b>§ 2-5 约束可变多面体法</b>	(52)
1. 基本设想	(53)
2. 择优过程	(53)
3. 实例及程序	(55)
4. 操作说明	(72)
5. 与复形法的一种对比	(75)
6. 低维、小型线性问题与非线性问题求解方法统一的探索	(76)
<b>第三章 优化设计中一些实际问题的处理</b>	(78)
<b>  § 3-1 实用步长确定法</b>	(78)
1. 一维搜索、最小函数值步长确定法	(78)
2. 简单实用步长确定法	(84)
3. 步长对寻优计算量的影响	(84)
<b>  § 3-2 改善局部优化解的工程方法</b>	(85)
1. 函数凸性判别	(85)
2. 局部优化解的实用价值	(87)
3. 相对优化解的改善与判别	(87)
<b>  § 3-3 收敛系数调整</b>	(90)
<b>  § 3-4 离散量的处理</b>	(91)
1. 曲线拟合技术	(91)
2. 实用优化参数的处理	(105)
<b>  § 3-5 线性方程组求解方法</b>	(106)
1. 消元法	(106)
2. 行列式求解法	(106)
3. 逆矩阵法	(107)
<b>第四章 求导法及其应用</b>	(110)
<b>  § 4-1 求导法的基本点</b>	(110)
<b>  § 4-2 多元函数极值理论基础</b>	(110)
1. 多元函数的近似表达式和最速下降方向	(110)
2. 几种特殊类型函数的斜量公式	(110)
3. 极值点的充要条件	(112)
<b>  § 4-3 最速下降法及其应用</b>	(115)
1. 基本设想	(115)
2. 分析及改进的可能	(116)
3. 最短带长带传动设计	(116)
<b>  § 4-4 牛顿法及其改进</b>	(118)
1. 基本设想	(118)
2. 实例运算分析	(119)
3. 改进的可能性——阻尼牛顿法	(121)
<b>  § 4-5 变尺度法及其应用</b>	(121)
1. 基本设想	(121)

2. 新矩阵( $H_k$ )的构成 .....	(122)
3. 运算示例 .....	(122)
4. 框图 .....	(123)
5. 程序及实例 .....	(124)
6. 程序改进及实例分析 .....	(131)
<b>§ 4-6 阻尼最小二乘法及其应用 .....</b>	<b>(138)</b>
1. 最小二乘法 .....	(138)
2. 阻尼最小二乘法 .....	(139)
3. 阻尼因子 $\nu$ 的选择 .....	(140)
4. 计算实例 .....	(140)
5. 迭代过程及框图 .....	(141)
<b>第五章 约束条件转化方法及应用 .....</b>	<b>(142)</b>
<b>§ 5-1 等式约束极小化问题的转化 .....</b>	<b>(142)</b>
1. 待定乘数法的基本设想 .....	(142)
2. 一般应用实例 .....	(143)
3. 设计应用实例——最低成本偏差设计 .....	(143)
<b>§ 5-2 一般有约束极小化问题转化 .....</b>	<b>(148)</b>
1. 基本设想 .....	(148)
2. 具体方法 .....	(150)
3. 罚参数的选取及优化点判别 .....	(150)
4. 计算实例 .....	(151)
<b>§ 5-3 不等式约束转化为等式约束 .....</b>	<b>(153)</b>
<b>第六章 处理多目标优化问题的工程方法 .....</b>	<b>(155)</b>
<b>§ 6-1 基础知识 .....</b>	<b>(155)</b>
1. 定义及基本数学模型 .....	(155)
2. 多目标函数的等值线图形 .....	(155)
<b>§ 6-2 一般求解的工程方法 .....</b>	<b>(156)</b>
1. 主目标函数法 .....	(156)
2. 加权求和法 .....	(156)
<b>§ 6-3 多技术要求齿轮传动系统分速比优化设计 .....</b>	<b>(157)</b>
1. 建立初始模型 .....	(157)
2. 用主目标函数法建模并求优化解 .....	(158)
3. 用加权求和法建模并求优化解 .....	(160)
4. 两种方法所得结果的分析 .....	(162)
<b>§ 6-4 目标函数相互矛盾的求解法 .....</b>	<b>(162)</b>
1. 协调曲线的获得及分析 .....	(162)
2. 有约束多目标函数极小化的协调曲线及分析 .....	(163)
3. 利用协调曲线求优化解 .....	(163)
<b>§ 6-5 求解多目标函数优化方法的新进展 .....</b>	<b>(164)</b>
1. 近期研究概况 .....	(164)
2. 交互作用法 .....	(164)
3. 有关权值算法分析 .....	(167)
4. 改进满意协调法 .....	(168)
<b>第七章 工程设计优化问题的深化 .....</b>	<b>(171)</b>
<b>§ 7-1 模糊集理论的发展 .....</b>	<b>(171)</b>

§ 7-2 常规设计与模糊设计 .....	(171)
1. 两种定义 .....	(171)
2. 两种特征函数 .....	(172)
§ 7-3 常规优化与模糊优化 .....	(173)
§ 7-4 实例分析与启发 .....	(174)
1. 目标函数与设计变量分别保持单调上升关系 .....	(174)
2. 目标函数与设计变量间保持非单调升降关系 .....	(175)
<b>第八章 工程设计应用实例及程序 .....</b>	<b>(177)</b>
§ 8-1 光学工程实例 .....	(177)
1. 自动安平型光学仪器悬挂系统设计 .....	(177)
2. 近半球腔激光器最佳参数设计 .....	(180)
§ 8-2 机械工程实例 .....	(182)
1. 最小应力牙嵌离合器设计 .....	(182)
2. 最小重量车辆传动轴设计 .....	(185)
3. 最小体积二级圆柱齿轮减速器设计 .....	(187)
4. 最低成本切削用量优选 .....	(190)
§ 8-3 特种精密机械工程实例 .....	(192)
1. 平衡机优化设计 .....	(192)
2. 驻退机优化设计 .....	(198)
3. 瞄准机传动系统优化设计 .....	(203)
§ 8-4 复形法 BASIC 程序文本及使用说明 .....	(206)
1. 复形法 BASIC 程序文本 .....	(206)
2. 程序使用说明 .....	(212)
<b>主要参考文献 .....</b>	<b>(213)</b>

# 第一章 设计方法的改进及优化技术概述

## § 1-1 研究设计方法的现实意义

设计是将某种设想转变为现实的一段过程,是为制造提供根据的必要手段。设计方法则是指,在该过程实施中所用的方法,包括理论、技术及手段。评价一种设计方法的优劣,主要以设计质量、设计效率为根据。设计质量固然根本取决于所用基本理论是否正确,同时也取决于设计方法先进与否。设计效率则主要取决于方法、计算工具及绘图手段。如所用基本理论一致,而设计方法不同,对质量及效率的影响都极明显。

工业发展的现实表明,设计理论、技术及手段的发展应相互推动、相互适应。否则就会直接影响产品的开发,影响市场的繁荣,影响与国际技术、经济运行的接轨。多年来,人们为了适应市场需要,加强竞争能力,曾为此作了巨大的努力,并取得了显著的效果。

## § 1-2 设计方法的改进与发展概况

设计方法从定性的类比设计法,发展到定量的综合设计法,大约经历了六十余年,它的变革过程与相关学科、相关技术、相关手段的发展相互适应。

### 1. 试算法

这种方法始于本世纪 20 年代末。当时,对于工程项目已提出了一些初始计算根据。试算法即以一定的理论公式为根据,利用已知或假定的技术条件,通过多次试算、修改,最终获得适用的设计参数。

例如设计一个刚度  $P'$  一定的圆柱形螺旋压力弹簧,可以根据以下古典公式进行试算

$$P' = \frac{P}{F} = \frac{Gd^4}{8nD_2^3}$$

式中  $P$ ——弹簧所受的轴向负荷;

$F$ ——弹簧在负荷  $P$  作用下所产生的变形量;

$D_2$ ——弹簧的平均直径,简称中径;

$n$ ——弹簧的有效圈数;

$d$ ——弹簧材料直径;

$G$ ——弹簧材料的切变模量。

根据上式,如已知或预定  $D_2$ 、 $n$ 、 $d$ 、 $G$  诸参数,通过多次试算、修改,就有可能得到压簧刚度等于或接近于  $P'$  的设计参数。

刚度公式也可写成一般的多元函数表达式,即

$$y = f(x_i), \quad i = 1, 2, \dots, n$$

式中,  $y$  代表性能指标  $P'$ ,  $x_i$  是设计参量, 分别代表  $G$ 、 $d$ 、 $n_1$ 、 $D_2$ , 故设计参量数  $n=4$ 。

对于一个多元函数,如要求函数值一定,固然可以通过选择、修改诸  $x_i$  值来满足要求。但在  $x_i$  既有一定数值范围或标准限制的情况下,即使经过多次试算、修改,也难获得理想结果,计算量也会随着试算次数的增多而加大。

## 2. 表格法

这种方法始于本世纪 30 年代。它仍以一定的理论计算公式为根据,参照常用离散数列及规范,预制出表格系列,供设计者直接查阅。目的在于简化设计过程,减少重复试算量,如圆柱形螺旋拉力、压力弹簧设计中所用屈度系数表(见表 1-1)。

表 1-1

$C$	4	5	6	7	8	9	10
$K$	1.40	1.31	1.25	1.21	1.18	1.16	1.14

制订上表的根据,是 1928 年由瓦尔(A. M. Wahl)所提出的屈度系数计算式

$$K = \frac{4C - 1}{4C - 4} + \frac{0.615}{C}$$

其中,  $C = D_2/d$  为弹簧旋绕比。若选定  $C$  后,依表 1-1 即可查得  $K$  值。

又如滚动轴承手册中的“轴承结构参数”表格,只要根据额定负荷及其它条件,便可查得设计所需标准轴承的类型、型号及尺寸。

表格法比试算法计算量小,使用也极简便;但表格必须分档,数列又皆为离散量,分档又不能过细,故表列数值难于适应各种需要,如表列数值不理想,尚须插值求解。

## 3. 图算法

这种方法始于本世纪 40 年代。是将应用数学引入工程设计的尝试。它仍以一定的理论公式为根据,建立图尺方程,确定图尺系数,作出具有专用图线的算图。这些专用图线,避免了函数值的离散化,使用时也无需用插值法求中间值。

### 例 1 屈度系数 $K$ 线图。

如图 1-1 所示,线图由  $d$ 、 $D_2$ 、 $K$  三条刻线组成。它们既可保持弹簧材料直径  $d$  因标准化所限定的离散性,又可使中径  $D_2$  适应设计要求的不同数值,并可快速而又比较准确地获得屈度系数  $K$ 。

具体使用方法是,如选  $d = 11\text{mm}$ ,  $D_2 = 41\text{mm}$ ,先分别在  $d$  线及  $D_2$  线上找到相应的两点,然后将两点虚线相联,并将联线延长与  $K$  线相交,交点所对应的数值即  $K$  值。本例所得  $K$  近于 1.44。

### 例 2 弹簧允差线图

弹簧允差线图可以用于,在已知弹簧中径  $D_2$ 、材料直径  $d$ 、有效圈数  $n$  及自由高度  $H$  时,确定中径偏差  $\Delta D_2$  及自由高度偏差  $\Delta H$ 。

如图 1-2 所示为自由高度允差图线,它由  $D_2/d$ 、 $\Delta H$ 、

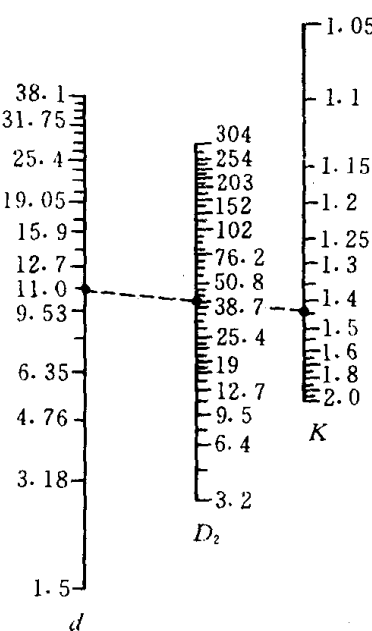


图 1-1 屈度系数  $K$  线图

$n/H$  三条刻线组成。如取  $D_2/d = 6.6$ ,  $n/H = 8$ , 分别在  $D_2/d$ 、 $n/H$  两刻线上找到相应的点, 并用虚线相联。联线与  $\Delta H$  刻线相交, 交点所对应的值即  $\Delta H$ 。但它应为自由高的百分数,  $\Delta H = 4.4\%$ 。

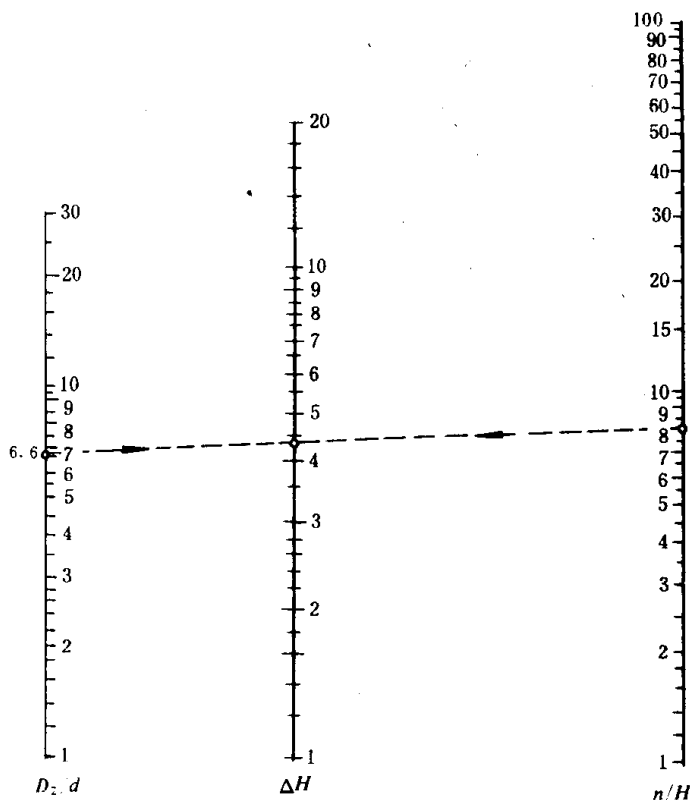


图 1-2 弹簧自由高度允差线图

如图 1-3 所示为中径允差图线, 它由  $d$ 、 $D_2$ 、 $\Delta D_2$  三条刻线组成。如取  $d = 1.2\text{mm}$ 、 $D_2 = 8\text{mm}$ , 先分别在  $d$ 、 $D_2$  两刻线上找到相应的点, 并在图上用虚线相联, 再向右延长与  $\Delta D_2$  线相交, 交点所对应的值即  $\Delta D_2 = 0.12\text{mm}$ 。

以上图线是谢克司(C. H. Sacks)根据亨特(Hunter)弹簧公司的生产情况, 用方和根法所制作的图线。其它企业也可根据自己的情况, 用同样原理制作有关线图。

可见, 利用预制图线, 既可相对提高设计质量及效率, 又可保持各设计参数的数值特性, 所得结果, 只需进行实用数值处理即可。

在图算法的基础上, 相继形成了各种专用算尺, 使设计手段得到了扩展。

#### 4. 利用一元函数极值理论的设计法

这种方法始于 40 年代末, 目的在于应用极值理论, 获得理想的最优工程设计性能, 是优化设计的萌芽。

如某一设计的性能指标为  $y$ , 诸设计参量为  $x_i$ , 并保持一定函数关系

$$y = f(x_i), \quad i = 1, 2, \dots, n$$

$n$  为有限整数, 若以  $y$  的极大值或极小值, 来表征设计的最优性能, 则由获得极值的必要条件

$$y' = 0$$

所确定的设计参量, 即为获得最优性能所应选用的具体值。

实际上,绝大多数设计都非一元问题。当时,为简化运算,都是只保留诸设计变量中的一个关键变量,而将其余赋值,使多元函数降为一元函数,然后对一元函数求极值,得最优参数。

### 例 1 最大释放圈数蜗线弹簧设计。

蜗线弹簧释放圈数  $n$  与其它结构参数关系为

$$n = \frac{R_2 - R_3 - R + \sqrt{R^2 + R_3^2 - R_2^2}}{h}$$

式中  $R_2$  —— 蜗线弹簧全部拧紧时的外半径;

$R_3$  —— 蜗线弹簧所用芯轴半径;

$R$  —— 蜗线弹簧盒内半径;

$h$  —— 蜗线弹簧厚度。

当选定  $R$ 、 $R_3$  及  $h$  的具体尺寸后,则  $n$  仅与  $R_2$  保持一元函数关系,如令

$$\frac{dn}{dR_2} = \frac{1}{h} \left( 1 - \frac{R_2}{\sqrt{R^2 + R_3^2 - R_2^2}} \right) = 0$$

则可得

$$R_2 = \sqrt{\frac{R^2 + R_3^2}{2}} = f(R, R_3)$$

这一结论,曾长期用于机械钟表及机械引信设计。

### 例 2 最小重量或最小体积螺旋压簧设计。

按最小重量条件关系式,依

$$\frac{dW}{dC} = 0$$

得

$$B = \frac{C^3(C^3 - 0.635^2 - 0.98C + 0.615)^{1/2}(5C^3 - 7.27C^2 - 1.21C + 1.23)}{4(1.365C^4 - 0.732C^3 - 0.673C^2 + 0.981C - 0.378)}$$

按最小体积条件关系式,依

$$\frac{dV}{dC} = 0$$

得

$$B = \frac{C^4}{2} \left( \frac{C - 1}{C^2 + 0.365C - 0.615} \right)^{1/2} \left( \frac{7C^3 - 5.54C^2 - 8.9C + 3.21}{2C^3 + 0.095C^2 - 3.19C + 1.845} \right)$$

在以上诸式中,  $W$  为压簧重量,  $V$  为压簧体积,  $C$  为旋绕比,  $B$  为系数, 它与压簧其它参数保持以下关系

$$B = \frac{FG}{n \sqrt{8P\pi[\tau]}} = f(F, G, n, P, [\tau])$$

式中,  $[\tau]$  为压簧材料许用切应力, 其余符号意义同前。

理论上,只要选定  $F$ 、 $G$ 、 $n$ 、 $P$ 、 $[\tau]$ , 并使旋绕比  $C$  分别满足以上条件式, 即可获得最小重量

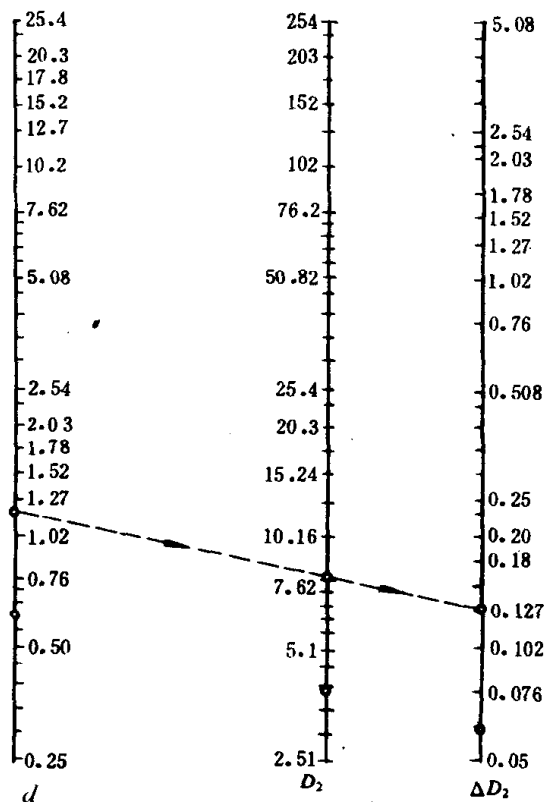


图 1-3 弹簧中径允差线图

或最小体积压簧。

以上条件式由辛克利(R. T. Hinkle)及莫尔司(I. E. Morse)提出，并制成了曲线图，供设计部门使用。

### 例3 齿轮系统最短启动时间传动比设计。

最短启动时间，必对应于最大启动角加速度，如角加速度为  $\epsilon$ ，依

$$\frac{d\epsilon}{di} = 0$$

得传动比  $i$  的条件式

$$i = m + \sqrt{m^2 + K}$$
$$m = \frac{M_2}{(M - M_t)\eta}; \quad K = \frac{J}{J_m}$$

式中  $M_2$ ——负载力矩；

$M$ ——电机有效力矩；

$M_t$ ——系统全部摩擦力矩；

$\eta$ ——总效率；

$J$ ——全部系统转化到负载轴上的转动惯量；

$J_m$ ——电机的转动惯量。

实际上，传动比  $i$  将具有以下一般关系

$$i = f(M_2, M, M_t, \eta, J, J_m)$$

可见，理论上只要选定上式右端各参数，并满足该条件式所得的传动比  $i$ ，就可使该齿轮系统获得最短启动时间。

以上结论，曾长期用于雷达及随动系统中的齿轮系统设计。

由以上三例可以看出，为建立一元函数模型，需要将一些设计参数定为常数，而仅保留一个变量。但对一般情况，依极值必要条件所得条件式，仍多为多元函数。故具体应用时，要想合理地满足该式，亦不方便。但以上实例说明，这种方法在不同的历史时期，也曾起过推动作用。

## 5. 优化设计法

优化设计亦称最优化设计，它始于 50 年代末，而普及应用于 70 年代。它是以数学规划理论为基础，以电子数字计算机为辅助工具的一种设计方法。

优化设计的基点是，将优化技术应用于设计过程之中，最终获得较理想的设计参数。由于这种技术多用于初始设计完成之后，或改型设计，故称之为优化设计。优化方法大体分为两类：

一为：直接计算目标函数值、比较目标函数值，并以之作为迭代、收敛根据的方法。

二为：以多变量函数极值理论为基础、利用目标函数的性态，并以之作为寻优、迭代、收敛根据的方法。

前者泛称为直接法，后者泛称为求导法。两种方法的择优、运算过程，皆按预编程序在电子数字计算机上进行，故在有的技术领域中，亦将此过程称之为自动设计。

近二十多年，优化技术在理论和应用上都得到了很大发展，已成为工业界的一项通用技术。实践证实，优化技术可明显地提高设计质量及效率，为进一步改进设计方法提供了可行的手段。

## 6. 综合设计法

80年代末期,随着高技术的发展及应用,形成了综合设计法。综合设计法以程序设计、优化技术、仿真技术及自动绘图技术的综合为基础,以计算机工作站为工具,将工业设计方法提高到了更新的阶段,使产品设计、换代、创新更趋于自动化,并展示了有可能向智能化发展的前景。

### § 1-3 有关优化设计的术语及概念

#### 1. 实际技术问题及其数学模型抽象

为具体说明与优化设计有关的基本概念及模型,现举例如下:

**例 1** 设计如图 1-4 示梯形截面槽,并使其容积最大。已知板料尺寸,宽度  $b=24\text{mm}$ ,长度  $L=50\text{mm}$ 。

**解** 板长即槽长,槽长一定,槽截面积最大,容积亦最大。

依梯形截面公式,得槽截面积  $A$  为

$$A = \frac{1}{2} [(24 - 2x) + (24 - 2x + 2x\cos\alpha)]x\sin\alpha \\ = f(x, \alpha)$$

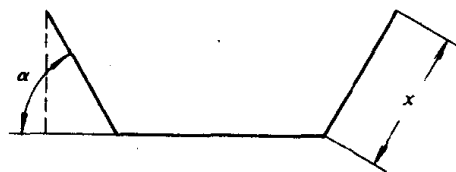


图 1-4 梯形截面槽

如上式有极大值存在,则按二元函数求极值的方法,就可求得最大截面积  $A$  所对应的  $x$  及  $\alpha$  值。如实际设计按此取值,就可获得最大容积的槽。

以上问题也可简写为

$$\max f(x, \alpha) \quad (1-1)$$

它表示了求解截面积  $A$  极大化的模型,“ $\max$ ”表示极大化。由于式(1-1)为非线性函数,故称非线性问题。

**例 2 最小重量螺旋压簧设计。**

设计技术要求为:最大工作负荷  $P=30\text{N}$ ,最大工作变形量  $F=10\text{mm}$ ,压并高小于  $50\text{mm}$ ,压簧内径大于  $16\text{mm}$ ,有效圈数在  $3\sim 10$  圈之内。

**解** 因压簧重量  $W$  为

$$W = \pi D_2 n_1 \frac{\pi d^2}{4} \gamma = f(D_2, n_1, d, \gamma)$$

式中  $n_1$ —压簧总圈数;

$\gamma$ —弹簧材料重度。

其余符号意义同前。设计时应满足的基本要求如下:

在最大工作负荷作用下不破坏,即

$$\frac{8PD_2}{\pi d^3} K \leq [t]$$

小于要求的压并高,即

$$H_b = n_1 d \leq 50$$

大于要求的内径,即

$$D_1 = D_2 - d \geq 16$$

最大变形量等于 10mm,即

$$F = \frac{8PD_2^3n}{Gd^4} = 10$$

有效圈数范围,即

$$10 \geq n \geq 3$$

根据以上条件及要求,负荷  $P$  应为常量;若材料选定,重度  $\gamma$  亦为常量;再取  $n_1 = n$ ,则整个问题的模型可以归纳并写为

$$\min f(D_2, n, d) \quad (1-2)$$

$$\text{sub } g_1(D_2 - d) - [\tau] \leq 0 \quad (1-3)$$

$$g_2(n, d) - 50 \leq 0 \quad (1-4)$$

$$g_3(D_2, d) - 16 \geq 0 \quad (1-5)$$

$$h_1(D_2, n, d) - 10 = 0 \quad (1-6)$$

$$10 \geq n \geq 3 \quad (1-7)$$

式(1-2)至式(1-7)概括表明,在满足各项技术要求时,求解压簧极小化重量的数学模型。“min”表示极小化、“sub”表示应满足的要求, $g_i$  表示不等式的函数形式, $h_i$  表示等式的函数形式。

由于式(1-2)至式(1-6)多为非线性函数,故亦为非线性问题。

### 例 3 选定最低总价格轴承。

设计时,欲选定四种滚珠轴承,其个数分别为  $x_1, x_2, x_3, x_4$ ; 轴承单价分别为  $y_1, y_2, y_3, y_4$ 。要求  $x_1, x_2$  之和不少于 24 个; $x_3, x_4$  之和不少于 32 个; $x_1, x_2, x_3$  之和不少于 36 个,且总价格最低。

解 根据以上条件及要求,即可写出其模型。

$$\min Y = x_1y_1 + x_2y_2 + x_3y_3 + x_4y_4 \quad (1-8)$$

$$\text{sub } x_1 + x_2 \geq 24 \quad (1-9)$$

$$x_3 + x_4 \geq 32 \quad (1-10)$$

$$x_1 + x_2 + x_3 \geq 36 \quad (1-11)$$

式(1-8)至式(1-11)概括表明,在满足各项要求时,求解四种滚珠轴承总价格最低的数学模型。由于它们都是线性函数,故为线性问题。当然,以上模型也可写成一般形式,即

$$\min f(x_1, x_2, x_3, x_4)$$

$$\text{sub } g_1(x_1, x_2) - 24 \geq 0$$

$$g_2(x_3, x_4) - 32 \geq 0$$

$$g_3(x_1, x_2, x_3) - 36 \geq 0$$

由以上三例可以看出,设计优化数学模型建立和抽象的根据是,设计任务、技术要求及有关技术知识。模型概括地表达了有关设计问题的全部要求,它是选择优化方法及择优计算的主要根据。

## 2. 设计变量

设计变量是设计模型的基本成分,是设计最后所需确定的参数。如例 1 中的  $x, \alpha$ , 例 2 中的  $D_2, n, d$ , 例 3 中的  $x_1, x_2, x_3, x_4$ 。设计变量的个数,即所需求解问题的维数。故例 1 为二维问题,例 2 为三维问题,例 3 为四维问题。有的工程技术问题可有几十维、几百维,甚至更高维数。

## 3. 目标函数

以所选定的设计变量为自变量,以所要求的性能指标为因变量,并按一定关系(如几何关系、物理关系、传动关系……)所建立的函数式,即为目标函数。它表征了设计性能要求与设计参数之间的关系,如式(1-1)、式(1-2)、式(1-8)。由于目标函数函数值大小,可以评价设计质量的优劣,故在有的著作中,亦称之为评价函数。

设计变量的个数,确定了目标函数的维数。设计变量的幂及函数的性态,确定了目标函数的性质,如式(1-1)为二维非线性函数,式(1-2)为三维非线性函数,式(1-8)为四维线性函数。

如所选的设计变量与所要求的性能指标之间无精确的函数关系,亦可采用曲线拟合、多元回归或其它近似计算方法,获取近似的函数式作为目标函数。

如在同一设计中,需要满足一个以上的性能指标,则可分别建立一个以上的目标函数表达式,并以之作为初始模型。

## 4. 约束条件

约束条件包括常量约束与约束方程两类。常量约束亦称边界约束,它表明设计变量的允许取值范围,如式(1-7)。约束方程亦称性能约束,它是以所选定的设计变量为自变量,以要求加以限制的设计参数为因变量,按一定关系(如性能关系、几何关系、设计规范、……)建立起来的函数式,它常用来限制某些设计性能。式(1-3)、式(1-4)、式(1-5)、式(1-6)等都属于约束方程。约束方程又分不等式约束和等式约束。

可以利用一定方法,将约束形式相互转化。如  $g(x_i) \leq 0$ , 可转变为  $-g(x_i) \geq 0$ ; 亦可转变  $g(x_i) + x_j = 0$ 。在一般表达式中,只写一种而代其余。

在所需求解的问题中,有时并无约束,有时则有约束。如例 1 为非线性无约束问题,例 2 为非线性有约束问题,例 3 为线性有约束问题。

## 5. 设计空间及设计可行域

为便于分析、研究,应用向量及矩阵的知识,可将设计模型转化为设计空间,并在此空间中,讨论择优过程。

如将设计方案抽象为一空间向量  $X$ ,并将与之有关的诸设计变量抽象为诸分向量( $x_1, x_2, \dots, x_n$ ),且各分向量线性独立。则以诸分向量为轴所构成的空间,即为设计空间。如有  $n$  个独立的设计变量,就可相应地构成  $n$  维空间,常称为  $n$  维欧氏空间,记为  $E^n$  或  $R^n$ 。

如  $n=2$ , 则有

$$X = \begin{bmatrix} x_1 \\ x_2 \end{bmatrix} = (x_1, x_2)^T$$

$n=3$ , 则有

$$X = \begin{bmatrix} x_1 \\ x_2 \\ x_3 \end{bmatrix} = (x_1, x_2, x_3)^T$$

.....

$n=n$ , 则有

$$X = \begin{bmatrix} x_1 \\ x_2 \\ \vdots \\ x_n \end{bmatrix} = (x_1, x_2, \dots, x_n)^T$$

显然, 在设计空间中的每一个点, 都唯一地确定了一个空间向量。它代表了一组分向量及其数值, 实际上也就代表了一种具体的设计方案。

如在设计空间中存在着使目标函数达到极值的点, 则该点就代表着一种优化设计方案。如在该空间中仅有一个极值点, 则它就是全空间中的最优设计方案。该点常用  $X^*$  或  $X_{opt}$  表示。

在设计空间中, 被约束条件所限区域, 即为设计可行域。它是设计空间中的一个局部, 优化设计的寻优过程, 一般只应在区域内进行(如图 1-5 示)。最后确定的优化点, 也应在此可行域内, 或在可行域的边界上。否则, 所得设计参数将因超出约束而失去实用价值。

## 6. 优化设计的一般数学模型

优化模型一般分无约束极小化模型和有约束极小化模型两类。

无约束极小化模型的一般型式为

$$\min f_k(X), \quad X = (x_1, x_2, \dots, x_n)^T, \quad X \in E^n \quad (1-12)$$

式(1-12)为多目标函数、无约束极小化模型。如  $k=1$ , 则为

$$\min f(X), \quad X = (x_1, x_2, \dots, x_n)^T, \quad X \in E^n \quad (1-13)$$

式(1-13)为单目标函数、无约束极小模型, 它是研究优化问题的最基本模型。根据不同的实际要求,  $k$  可为 1 或大于 1 的有限数。

有约束极小化模型的一般型式为

$$\left. \begin{array}{ll} \min & f_k(X), \quad X = (x_1, x_2, \dots, x_n)^T, \quad X \in E^n \\ & k = 1, 2, \dots, K \\ \text{sub} & g_j(X) \geq 0, \quad j = 1, 2, \dots, J \\ & h_l(X) = 0, \quad l = 1, 2, \dots, L \\ & a_i \leq x_i \leq b_i, \quad i = 1, 2, \dots, n \end{array} \right\} \quad (1-14)$$

式(1-14)一般概括了设计中最复杂的情况。如  $k=1$ , 则为单目标函数、有约束极小化模型。如  $k \geq 2$ , 则为多目标函数、有约束极小化模型。如仅有  $g_j(X) \geq 0$ (或包括  $g_j(X) \leq 0$ ), 则称具有不等式约束。如仅有  $h_l(X) = 0$ , 则称具有等式约束。如仅有  $a_i \leq x_i \leq b_i$ , 则称具有常量约束。

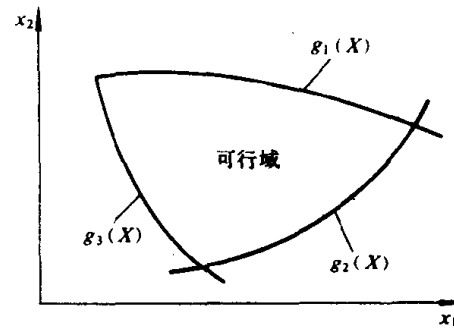


图 1-5 设计可行域